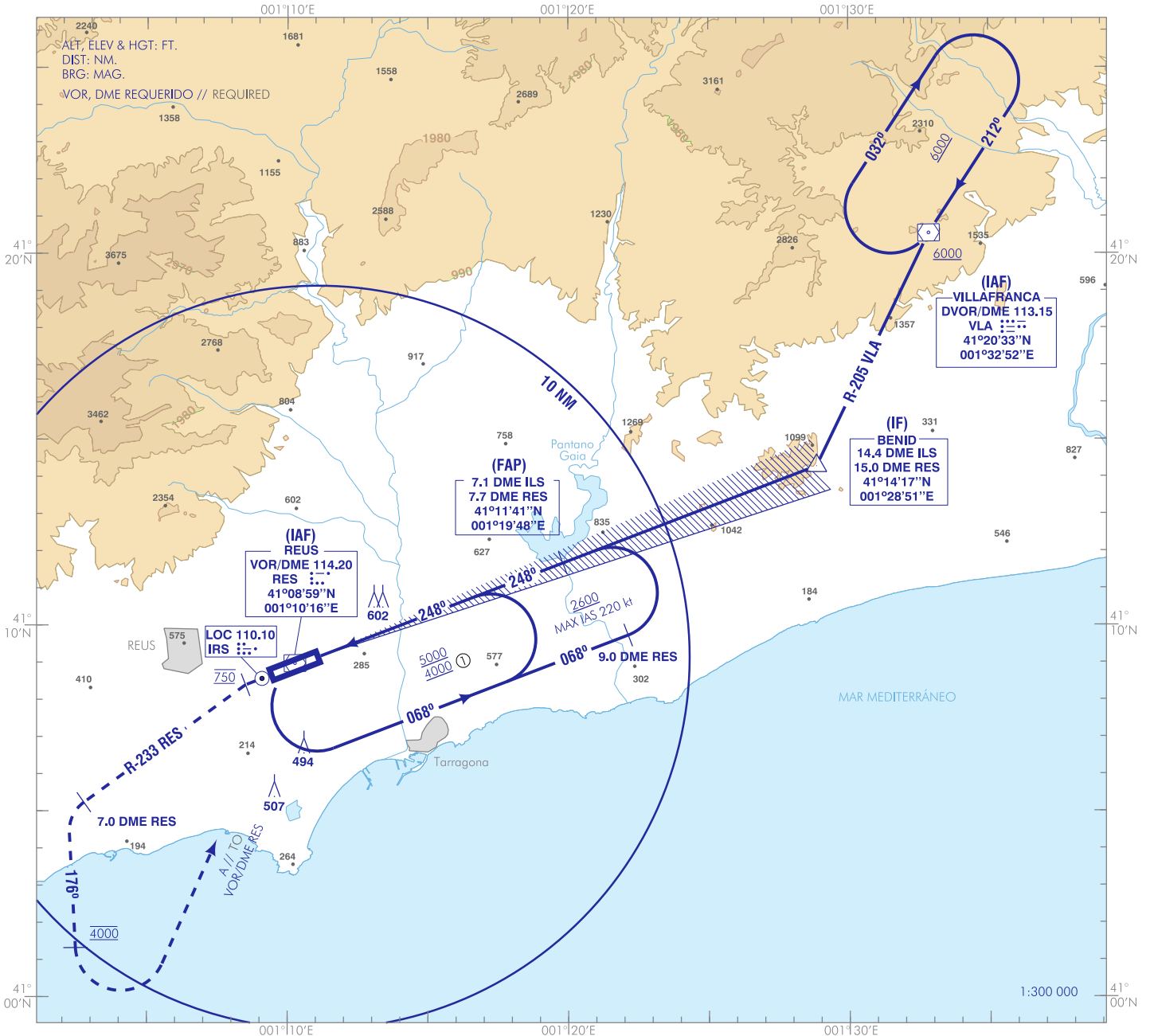


CARTA DE APROXIMACIÓN  
POR INSTRUMENTOS-OACI

ELEV AD  
233  
VAR 1°E (2020)

APP 128.875  
TWR 128.875  
GMC 121.700

REUS  
ILS Z  
RWY 25



① CON AUTORIZACIÓN ATC.

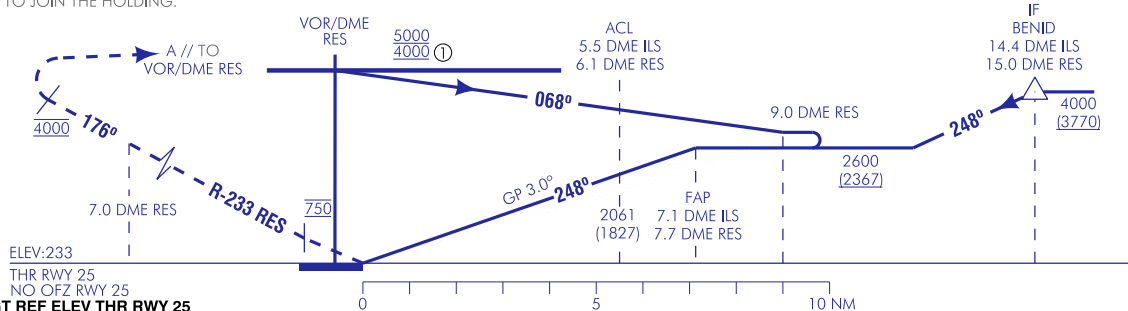
- HIPODROMO NO OMNIDIRECCIONAL: ENTRADA RESTRINGIDA A LA DERROTA DE ACERCAMIENTO.

**FRUSTRADA:** SUBIR DIRECTO A 750. VIRAR A LA IZQUIERDA PARA SEGUIR R-233 RES HASTA 7.0 DME RES. VIRAR A LA IZQUIERDA A RUMBO MAGNÉTICO 176° HASTA ALCANZAR 4000. VIRAR A LA IZQUIERDA DIRECTO A VOR/DME RES, PARA INTEGRARSE A LA ESPERA.

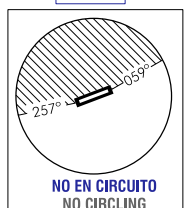
① WITH ATC CLEARANCE.

- RACETRACK NON OMNIDIRECCIONAL: RESTRICTED ENTRY TO THE INBOUND TRACK.

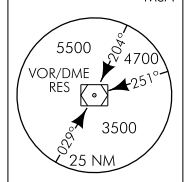
**MISSED APCH:** CLIMB DIRECT UP TO 750. TURN LEFT TO FOLLOW R-233 RES UP TO 7.0 DME RES. TURN LEFT TO MAGNETIC HEADING 176° TO REACH 4000. TURN LEFT DIRECT TO VOR/DME RES TO JOIN THE HOLDING.



ILS RDH 49  
TA 6000



NO EN CIRCUITO  
NO CIRCLING



		HGT REF ELEV THR RWY 25				
		OCA/H	A	B	C	D
STA	CAT I		420 (187)	430 (197)	440 (207)	450 (217)
	En círculo (H) sobre Circling (H) over	233	850 (620)	890 (660)	1050 (820)	1080 (850)

GS	kt	80	100	120	140	160	180
FAP-THR: 7.1 NM	min:s	5:21	4:17	3:34	3:03	2:41	2:23
FAP-MAPT:	min:s						
ROD: 5.2 %	ft/min	425	531	637	743	849	955

ALT/HGT DME (ILS) FNA												
13	12	11	10	9	8	7	6	5	4	3	2	1
						2560 (2330)	2230 (2000)	1900 (1670)	1580 (1340)	1250 (1020)	930 (690)	610 (370)

CAMBIOS: DECLINACIÓN MAGNÉTICA, RADIALES, RUMBOS.  
CHANGES: MAGNETIC VARIATION, RADIALS, HEADINGS.

REUS AD

REQUISITOS DE LA BASE DE DATOS AERONÁUTICA  
 AERONAUTICAL DATABASE REQUIREMENTS

PROCEDIMIENTOS DE APROXIMACIÓN POR INSTRUMENTOS // INSTRUMENT APPROACH PROCEDURES

ILS Z RWY 25

PUNTO POINT	LATITUD LATITUDE	LONGITUD LONGITUDE	AZIMUT VERDADERO TRUE BEARING	DISTANCIA DME DME DISTANCE (NM)
VOR/DME RES (IAF)	41°08'58.9"N	001°10'16.0"E	-	-
DVOR/DME VLA (IAF)	41°20'33.4"N	001°32'52.4"E	-	-
BENID (IF)	41°14'17.2"N	001°28'51.2"E	068.94° (LOC IRS)	15.00 DME RES
FAP	41°11'40.7"N	001°19'48.2"E	068.94° (LOC IRS)	07.13 DME ILS
Aproximación final de precisión - Pendiente (Ángulo de descenso) // Precision final approach - Slope (Descent angle)				5.24% (3.00°)